

RAČUNARSKA GRAFIKA

Oznaka predmeta: RG

Predavanje broj: 09

Nastavna jedinica: 3D transformacije i projekcije. Skrivenne linije, morfiing.

Nastavne teme: 3D transformacije: translacija, rotacija, skaliranje. Složene transformacije. Rotacija oko proizvoljne ose. Osnovne klase projekcija: perspektiva, paralelna. Uklanjanje skrivenih linija i površina. Geometrijsko uređivanje. Min-maks provera. Provera odnosa tačke i poligona. Proširenje algoritma Min-maks na 3D. Warnock-ov postupak. Podela prostora (quad tree). Watkins-ov postupak (scan line method). BSP. Uklanjanje poligona (culling). Čelije i portali. PVS potencijalno vidljivi skup (Potentially visible set). LOD, morfiing.

Predavač: prof. dr Perica S. Štrbac, dipl. ing.

Literatura:

James D. Foley, Andries van Dam, Steven K. Feiner, John F. Hughes: "Computer Graphics: Principles and Practice", 2nd ed. in C, Addison-Wesley, 1996.

Koordinatni sistemi

- Svaki grafički paket ima bar jedan koordinatni sistem
 - Dekartov
 - Cilindrični
 - Polarni
 - Sferni
- World coordinates (WCS – World Coordinate System): prirodne koordinate, prevode se u normalizirane koordinate.

$$(-\infty, +\infty) \rightarrow [-1, 1]$$

- Javlja se problem prikaza na ekranu koji ima prebrojivo tačaka
- Vrš se prevođenje normaliziranih koordinata u ekranske koordinate
- Moguće je i izvršiti prevođenje WCS u ekranske koordinate
- Da bi se složena transformacija izvela kao proizvod osnovnih transformacija koriste se afine koordinate

Transformacije u 3D

- Pretpostavlja se konvencija pokretne virtuelne kamere
- Postoji formalna sličnost sa transformacijama u 2D grafici:
 - dodaje se jedan član jednačina (za koordinatu z),
 - dodaje se jedna jednačina (za z')
 - posledica je da matrica transformacije postaje 4x4

$$x' = A1 \cdot x + B1 \cdot y + C1 \cdot z + D1 \cdot 1$$

$$y' = A2 \cdot x + B2 \cdot y + C2 \cdot z + D2 \cdot 1$$

$$z' = A3 \cdot x + B3 \cdot y + C3 \cdot z + D3 \cdot 1$$

$$1 = 0 \cdot x + 0 \cdot y + 0 \cdot z + 1 \cdot 1$$

$$\begin{bmatrix} x' & y' & z' & 1 \end{bmatrix} = \begin{bmatrix} x & y & z & 1 \end{bmatrix} \cdot \begin{bmatrix} A1 & A2 & A3 & 0 \\ B1 & B2 & B3 & 0 \\ C1 & C2 & C3 & 0 \\ D1 & D2 & D3 & 1 \end{bmatrix}$$

Translacija

- Koordinatni početak $O(0,0,0)$ se translatorno pomera u tačku $O'(x_1,y_1,z_1)$:

$$T = \begin{bmatrix} 1 & 0 & 0 & 0 \\ 0 & 1 & 0 & 0 \\ 0 & 0 & 1 & 0 \\ -x_1 & -y_1 & -z_1 & 1 \end{bmatrix}$$

- Translacija za dx,dy,dz bez pomeranja koordinatnog početka

$$T = \begin{bmatrix} 1 & 0 & 0 & 0 \\ 0 & 1 & 0 & 0 \\ 0 & 0 & 1 & 0 \\ dx & dy & dz & 1 \end{bmatrix}$$

Rotacije

- U 2D grafici
 - jedna elementarna rotacija (oko koordinatnog početka)
- U3D grafici
 - 3 elementarne rotacije (oko svake ose koordinatnog sistema)
- Matrice rotacije koordinatnog početka oko X ose (R_x) za ugao α , oko Y ose (R_y) za ugao $-\beta$ i oko Z ose (R_z) za ugao γ :

$$R_x = \begin{bmatrix} 1 & 0 & 0 & 0 \\ 0 & \cos \alpha & -\sin \alpha & 0 \\ 0 & \sin \alpha & \cos \alpha & 0 \\ 0 & 0 & 0 & 1 \end{bmatrix}$$

$$R_y = \begin{bmatrix} \cos \beta & 0 & -\sin \beta & 0 \\ 0 & 1 & 0 & 0 \\ \sin \beta & 0 & \cos \beta & 0 \\ 0 & 0 & 0 & 1 \end{bmatrix}$$

$$R_z = \begin{bmatrix} \cos \gamma & -\sin \gamma & 0 & 0 \\ \sin \gamma & \cos \gamma & 0 & 0 \\ 0 & 0 & 1 & 0 \\ 0 & 0 & 0 & 1 \end{bmatrix}$$

- Matrice rotacije tačke oko X ose (R_x) za ugao α , oko Y ose (R_y) za ugao $-\beta$ i oko Z ose (R_z) za ugao γ :

$$R_x = \begin{bmatrix} 1 & 0 & 0 & 0 \\ 0 & \cos \alpha & \sin \alpha & 0 \\ 0 & -\sin \alpha & \cos \alpha & 0 \\ 0 & 0 & 0 & 1 \end{bmatrix}$$

$$R_y = \begin{bmatrix} \cos \beta & 0 & \sin \beta & 0 \\ 0 & 1 & 0 & 0 \\ -\sin \beta & 0 & \cos \beta & 0 \\ 0 & 0 & 0 & 1 \end{bmatrix}$$

$$R_z = \begin{bmatrix} \cos \gamma & \sin \gamma & 0 & 0 \\ -\sin \gamma & \cos \gamma & 0 & 0 \\ 0 & 0 & 1 & 0 \\ 0 & 0 & 0 & 1 \end{bmatrix}$$

Skaliranje

- Faktori skaliranja za ose X,Y,Z su S_x , S_y i S_z , respektivno
- Matrica skaliranja po sve tri ose:

$$S = \begin{bmatrix} S_x & 0 & 0 & 0 \\ 0 & S_y & 0 & 0 \\ 0 & 0 & S_z & 0 \\ 0 & 0 & 0 & 1 \end{bmatrix}$$

- Matrica skaliranja oko referentne tačke (X_r, Y_r, Z_r) po sve tri ose:

$$S = \begin{bmatrix} S_x & 0 & 0 & 0 \\ 0 & S_y & 0 & 0 \\ 0 & 0 & S_z & 0 \\ (1-S_x)X_r & (1-S_y)Y_r & (1-S_z)Z_r & 1 \end{bmatrix}$$

Složene transformacije

- Kao i kod transformacija u 2D grafici
 - složena transformacija se može dekomponovati na elementarne transformacije
 - određuje se kompozitna matrica složene transformacije množenjem matrica elementarnih transformacija
- Redosled elementarnih transformacija u složenoj transformaciji je bitan, množenje matrica nije komutativno

Šta je sledeća matrica 3D transformacije:

$$M = \begin{bmatrix} 1 & 0 & 0 & 0 \\ 0 & 1 & 0 & 0 \\ 0 & 0 & 1 & 0 \\ -X_r & -Y_r & -Z_r & 1 \end{bmatrix} \begin{bmatrix} S_x & 0 & 0 & 0 \\ 0 & S_y & 0 & 0 \\ 0 & 0 & S_z & 0 \\ 0 & 0 & 0 & 1 \end{bmatrix} \begin{bmatrix} 1 & 0 & 0 & 0 \\ 0 & 1 & 0 & 0 \\ 0 & 0 & 1 & 0 \\ X_r & Y_r & Z_r & 1 \end{bmatrix}$$

Rotacija oko proizvoljne ose

- Problem:

- izvršiti rotaciju za ugao α oko ose koja spaja tačke $P1(x1,y1,z1)$ i $P2(x2,y2,z2)$.

Rešenje:

- Translacija koordinatnog sistema u tačku $P1(x1,y1,z1)$.
- Rotacija sistema za ugao $-\theta$ (u smeru kazaljke na časovniku) oko ose X tako da se data linija $P1P2$ dovede da leži u XoZ' ravni (sada XoZ')

$$Dx = x2 - x1$$

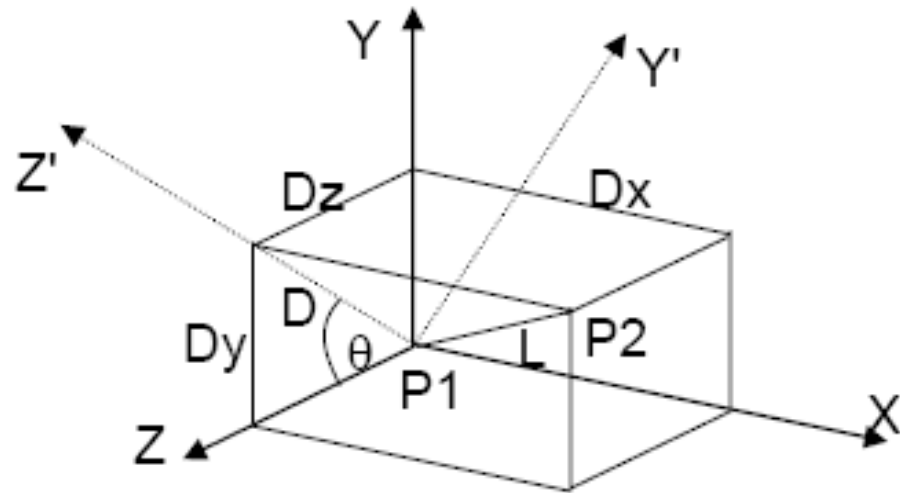
$$Dy = y2 - y1$$

$$Dz = z2 - z1$$

$$D = \sqrt{Dy^2 + Dz^2}$$

$$\sin \theta = Dy / D$$

$$\cos \theta = Dz / D$$

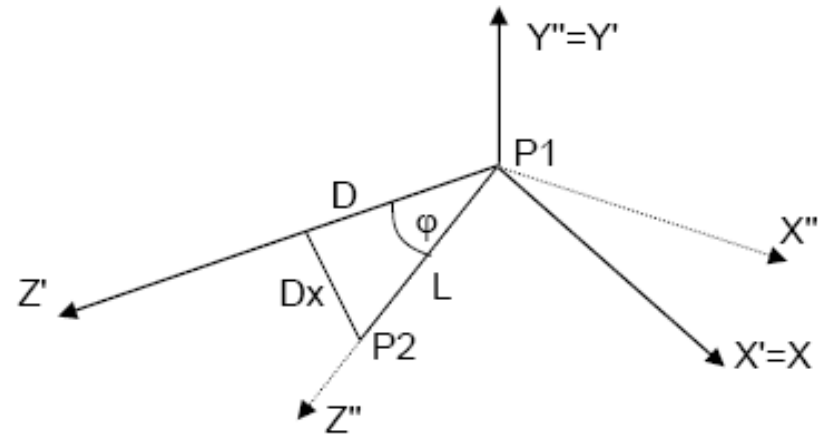


Rotacija oko proizvoljne ose

- Rotacija sistema oko Y' za ugao ϕ tako da se data linija P1P2 poklopi sa Z' -osom (sada Z'')

$$L = \sqrt{D^2 + Dx^2} = \sqrt{Dy^2 + Dz^2 + Dx^2}$$

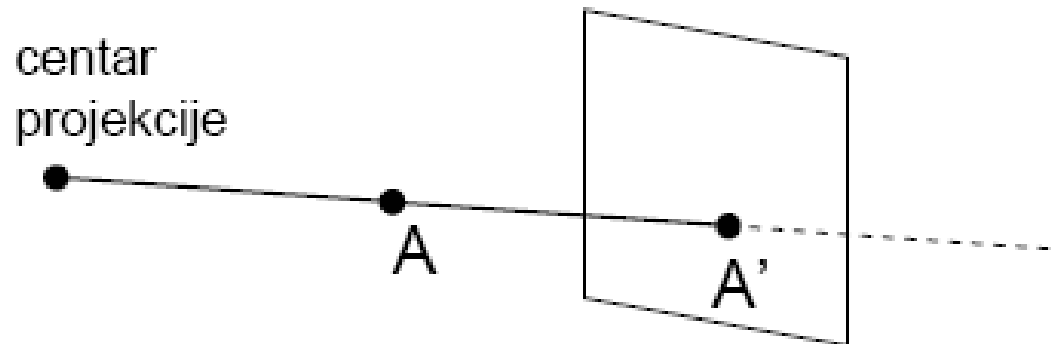
$$\sin \phi = Dx / L \quad \cos \phi = D / L$$



- Rotacija sistema oko Z'' za ugao α .
- Rotacija sistema oko Y za ugao $-\phi$.
- Rotacija sistema oko X za ugao θ .
- Translacija u originalni koordinatni početak.
- Kompozitna matrica totalne transformacije: $R = T * R_x * R_y * R_z * R_{y'} * R_{x'} * T'$
(ovde je M' označeno kao inverzne matrica transformacije od M)

Projekcija

- Generalno, projekcija je transformacija koja preslikava tačku
 - iz koordinatnog sistema sa N dimenzija
 - u koordinatni sistem sa manje od N dimenzija
- Ovde
 - ograničenje na preslikavanje 3D objekta na 2D površinu
 - ograničenje na planarne geometrijske projekcije
- Planarna geometrijska projekcija 3D tačke se dobija tako što se:
 - *projekcioni zrak(projektor)* emituje iz *centra projekcije* kroz željenu 3D tačku
 - odredi se presek projektora sa *projekcionom ravni*



Osnovne klase projekcija

- 3D objekti se moraju prikazati na 2D uređajima – potreba za projekcijama
- Povoljna okolnost je što je projekcija linije takođe linija, te se projektovanje svodi na krajnje tačke
- Dve osnovne klase planarnih geometrijskih projekcija su
 - *perspektiva*
 - *paralelna*
- Kod perspektive
 - centar projekcije i projekciona ravan su na konačnom rastojanju
 - zadržavaju se relativne proporcije objekta
- Kod paralelne projekcije
 - centar projekcije je beskonačno udaljen od projekcione ravni
 - sve pozicije koordinata prenose se na ravan paralelno
 - projektovanje pod uglom ima zrake projekcije koje su međusobno paralelne, ali nisu okomite na ravan pogleda

Perspektiva

- Prirodan vizuelni efekat sličan fotografiji i čovekovom vizuelnom sistemu
- Efekat se naziva perspektivnim skraćanjem (*perspective foreshortening*):
 - veličina projekcije objekta se menja inverzno sa rastojanjem objekta od centra projekcije
- Mane su što se na projekciji ne mogu meriti dužine i uglovi
 - uglovi su realni samo za stranice objekta koje su paralelne sa projekcionom ravni
- Karakteristika perspektivne projekcije svakog skupa paralelnih linija (koje nisu paralelne projekcionoj ravni)
 - skup konvergira u zajedničku "iščezavajuću" (*vanishing*) tačku
 - koristi se izraz i nedogled

Osna iščezavajuća tačka

- *Osna iščezavajuća tačka* (AVP – Axis Vanishing Point)
 - tačka iščezavanja linija paralelnih osi koordinatnog sistema
- Broj osnih iščezavajućih tačaka je jednak broju osa koje preseca projekciona ravan
 - čest slučaj: centar projekcije na Z-osi a projekciona ravan XoY
 - postoji samo jedna AVP
- U arhitekturi i inženjeringu
 - projekcija sa 2 AVP se koristi često
 - projekcija sa 3 AVP se koristi ređe

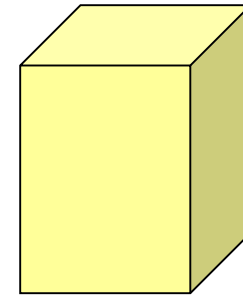
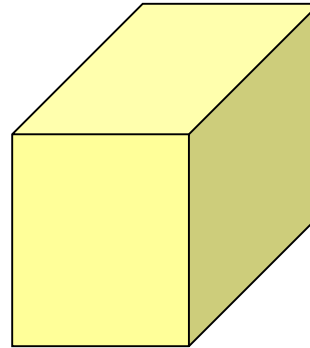
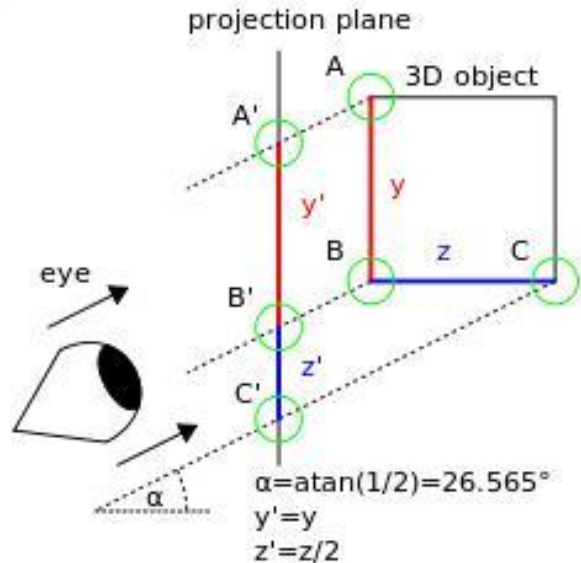
Paralelna projekcija

- Projekcioni zraci su paralelni.
- Određen je samo pravac i smer projekcionih zraka
 - vektor: *smer projekcije (direction of projection)*
- Generalno, vektor je razlika tačaka u homogenom sistemu:
$$v = (x, y, z, 1) - (x', y', z', 1) = (a, b, c, 0)$$
- Paralelna projekcija je perspektiva čiji je centar u beskonačnosti.
- Paralelna projekcija ima sledeće osobine:
 - na njoj se mogu meriti rastojanja
 - iako i ovde mogu biti različita (ali konstantna) skraćenja po svakoj od osa (različiti metodi prikaza)
 - paralelne linije ostaju paralelne (ne postoje iščezavajuće tačke)
 - uglovi su očuvani samo na stranicama tela koje su paralelne projekcionoj ravni

Klasifikacija paralelnih projekcija

- Paralelne projekcije se dele na:
 - **ortogonalne** (ortografske)
 - smer projekcije normalan na projekcionu ravan koja je koordinatna ravan
 - pogled odozgo (*top, plan view*), spreda (*front view*), sa strane (*side view*)
 - **aksonometrijske**
 - koriste projekcionu ravan koja nije normalna na ose koordinatnog sistema
 - izometrijske
 - normala na projekcionu ravan zaklapa jednake uglove sa sve 3 ose
 - **iskošene**
 - *Oblique*, smer projekcije nije normalan na projekcionu ravan
 - *Kavaljeova*
 - smer projekcije zaklapa ugao od 45° sa projekcionom ravni, faktor skraćenja je nula
 - *Kabinet*
 - smer projekcije zaklapa ugao od $\arctg(2)=63.4^\circ$
 - linije normalne na projekcionu ravan se skraćuju faktorom 2

Paralelne projekcije pod uglom



- Kosa paralelna projekcija, *Oblique projection*
 - putanja projekcije nije okomita na ravan pogleda
- *Cavalierova* projekcija
 - $\text{tg}(\beta) = 1, \beta = 45^\circ$
 - sve linije koje su normalne na ravan pogleda projektuju se bez promene dužine
- *Kabinetska* projekcija
 - $\text{tg}(\beta) = 2, \beta \approx 63,4^\circ$
 - sve linije koje su normalne na ravan pogleda projektuju se na polovinu svoje dužine

Matematičko modeliranje projekcija

- Ovde se uzima da je projekciona ravan XoY ravan
- Centar projekcije se nalazi na pozitivnoj Z osi i to:
 - ako je centar u tački $P(0,0,+\infty)$ projekcija je ortogonalna (paralelni zraci, normalni na ravan)
 - ako je centar u tački $P(0,0,d \neq +\infty)$ projekcija je sa perspektivom
- Ideja je da se i projekcija tretira kao elementarna transformacija, kako bi matematički aparat bio jednoobrazan

Ortogonalna projekcija na XoY

Svodi se na ignorisanje z komponente tačke (projekciona ravan je $z'=0$):

$$x' = x$$

$$y' = y$$

$$z' = 0$$

$$x' = 1 \cdot x + 0 \cdot y + 0 \cdot z + 0 \cdot 1$$

$$y' = 0 \cdot x + 1 \cdot y + 0 \cdot z + 0 \cdot 1$$

$$z' = 0 \cdot x + 0 \cdot y + 0 \cdot z + 0 \cdot 1$$

$$1 = 0 \cdot x + 0 \cdot y + 0 \cdot z + 1 \cdot 1$$

$$P_0 = \begin{bmatrix} 1 & 0 & 0 & 0 \\ 0 & 1 & 0 & 0 \\ 0 & 0 & 0 & 0 \\ 0 & 0 & 0 & 1 \end{bmatrix}$$

- Odnosno pošto slika tačke treba da bude izražena u 2D:

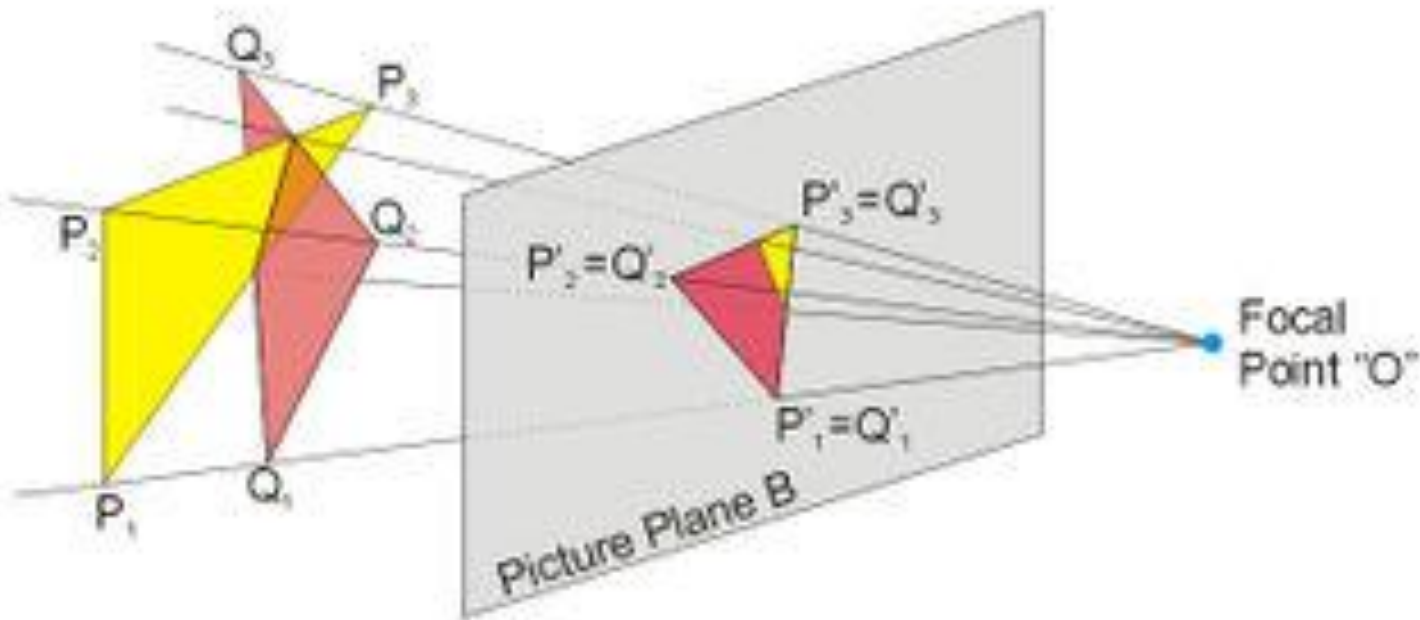
$$P_0 = \begin{bmatrix} 1 & 0 & 0 \\ 0 & 1 & 0 \\ 0 & 0 & 0 \\ 0 & 0 & 1 \end{bmatrix}$$

- Konačno transformacija je:

$$Q_{2D} = P_{3D} * P_0 = \begin{bmatrix} x' & y' & 1 \end{bmatrix} = \begin{bmatrix} x & y & z & 1 \end{bmatrix} \cdot \begin{bmatrix} 1 & 0 & 0 \\ 0 & 1 & 0 \\ 0 & 0 & 0 \\ 0 & 0 & 1 \end{bmatrix}$$

Perspektiva

- Zrake projekcije nisu paralelne nego se seku u zamišljenoj tački (projekciona referentna tačka, centar projekcije)
- Dalji objekti su manji, bliži su veći

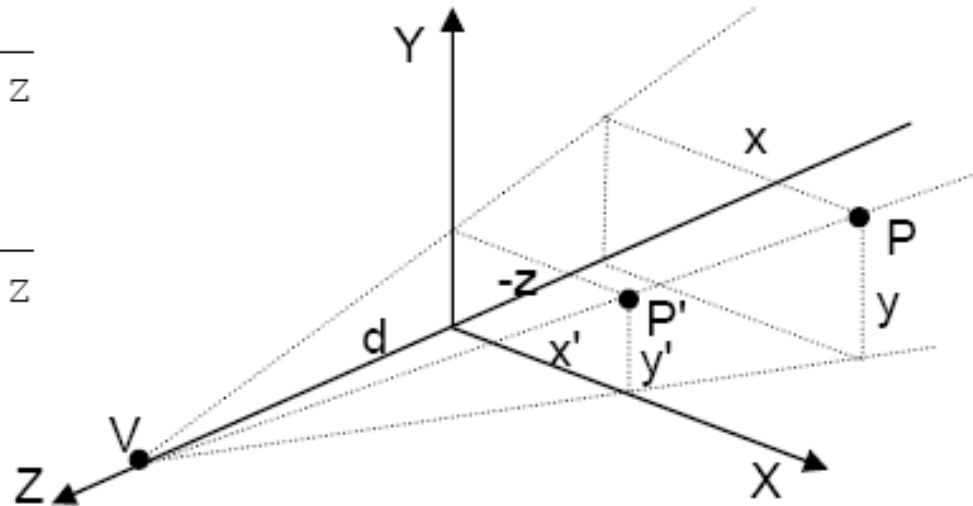


Projekcija sa perspektivom

- Centar projekcije $V(0,0,d)$ leži na pozitivnoj Z osi

$$\frac{x'}{d} = \frac{x}{d+(-z)} \Rightarrow x' = x \cdot \frac{d}{d-z}$$

$$\frac{y'}{d} = \frac{y}{d+(-z)} \Rightarrow y' = y \cdot \frac{d}{d-z}$$



$$\left. \begin{aligned} x' &= \frac{d}{d-z} \cdot x + 0 \cdot y + 0 \cdot 1 \\ y' &= 0 \cdot x + \frac{d}{d-z} \cdot y + 0 \cdot 1 \\ 1 &= 0 \cdot x + 0 \cdot y + 1 \cdot 1 \end{aligned} \right\} \cdot \frac{d-z}{d} = w$$

$$x'' = x' \cdot \frac{d-z}{d} = 1 \cdot x + 0 \cdot y + 0 \cdot z + 0 \cdot 1$$

$$y'' = y' \cdot \frac{d-z}{d} = 0 \cdot x + 1 \cdot y + 0 \cdot z + 0 \cdot 1$$

$$w = 1 \cdot \frac{d-z}{d} = 0 \cdot x + 0 \cdot y + \left(-\frac{1}{d}\right) \cdot z + 1 \cdot 1$$

Projekcija sa perspektivom

- U matričnom obliku:

$$[x'' \quad y'' \quad w] = [x \quad y \quad z \quad 1] \cdot \begin{bmatrix} 1 & 0 & 0 \\ 0 & 1 & 0 \\ 0 & 0 & -\frac{1}{d} \\ 0 & 0 & 1 \end{bmatrix}$$

- Matrica projekcije sa perspektivom:

$$P_p = \begin{bmatrix} 1 & 0 & 0 \\ 0 & 1 & 0 \\ 0 & 0 & -\frac{1}{d} \\ 0 & 0 & 1 \end{bmatrix}$$

- Koordinate tačke projekcije se dobijaju: $[x' \quad y' \quad 1] = \begin{bmatrix} \frac{x''}{w} & \frac{y''}{w} & 1 \end{bmatrix}$

Napomena: za $d=0$ (centar projekcije u koordinatnom početku)

- projekcija je nedefinisana

Primer

- Tačka P(3,5,7) se projektuje u tačku Q
- Centar projekcije je u tački V(0,0,10), a projekciona ravan je XoY

$$[3 \ 5 \ 7 \ 1] \cdot \begin{bmatrix} 1 & 0 & 0 \\ 0 & 1 & 0 \\ 0 & 0 & -\frac{1}{10} \\ 0 & 0 & 1 \end{bmatrix} = [3 \ 5 \ 0.3] \Rightarrow$$

$$[3 \ 5 \ 0.3] / 0.3 = \left[10 \ \frac{50}{3} \ 1 \right] \Rightarrow$$

- Rešenje je $Q(10, \frac{50}{3})$

Koje biste matrice transformacije koristili?

- Četvorostranu piramidu

A(50,50,30)

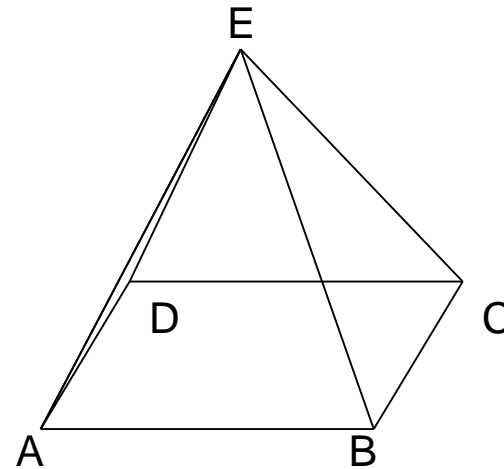
B(150,50,30)

C(150,150,30)

D(50,150,30)

E(100,100,100)

projektovati na X0Y osu.



- Rotirati piramidu ABCDE oko x ose za 45 stepeni, skalirati dobijenu piramidu A'B'C'D'E' za $S_x=S_y=S_z=0.5$ i takvu projektovati na X0Y osu.
- Piramidu ABCDE projektovati na X0Y perspektivom za $V(0,0,200)$.

Primer 1/3

```
#pragma comment( lib, "opengl32.lib")
#pragma comment( lib, "glu32.lib")
#pragma comment( lib, "glut32.lib")
#include <GL/glut.h>

GLdouble yeye = 0; GLfloat ugao = 45;
void display() {
    glClear(GL_COLOR_BUFFER_BIT | GL_DEPTH_BUFFER_BIT);
    glLoadIdentity();
    gluLookAt(0, yeye, 8, 0, 0, 0, 0, 1, 0);

    glTranslatef(0.0, 0.0, 3.0); // Centralni cajnik
    glutSolidTeapot(1.0); // glutSolidSphere(1.0,16,16);

    glTranslatef(2.0, 2.0, -1.0);
    glutSolidTeapot(1.0); // Gornji desni cajnik

    glTranslatef(-4.0, 0.0, -1.0); // Gornji levi cajnik
    glutSolidTeapot(1.0);

    glTranslatef(0.0, -4.0, -1.0); // Donji levi cajnik
    glutSolidTeapot(1.0);

    glTranslatef(4.0, 0.0, -1.0); // Donji desni cajnik
    glutSolidTeapot(1.0);
    glFlush();
}
```

Primer 2/3

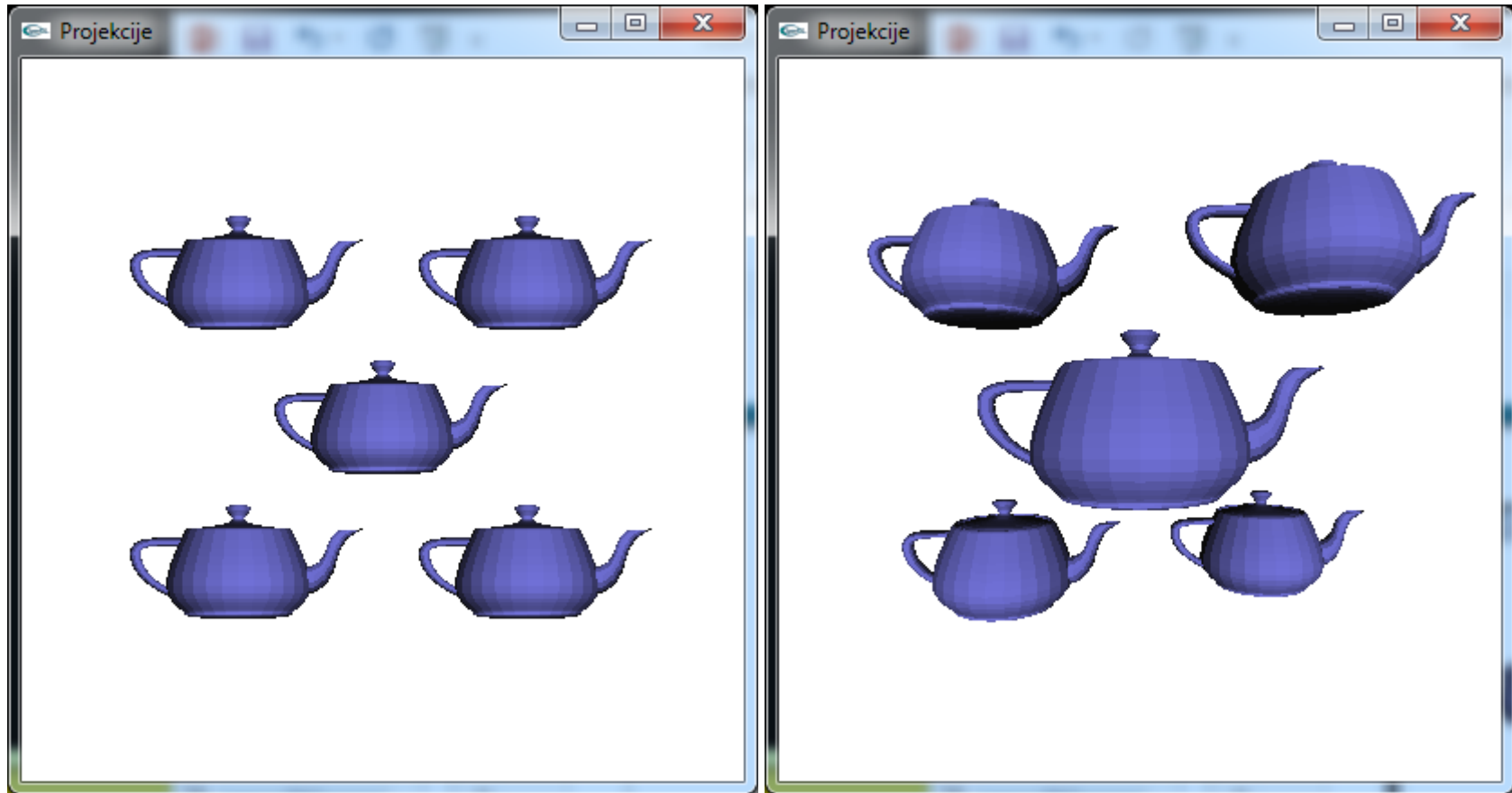
```
void kbd(unsigned char key, int x, int y) {
    switch (key) {
        case 27 : exit(0);    break;
        case 'o' :
        case 'O' :
            glMatrixMode(GL_PROJECTION);
            glLoadIdentity();
            glOrtho(-5, 5, -5, 5, -10, 10);
            break;
        case 'f' :
        case 'F' :
            glMatrixMode(GL_PROJECTION);
            glLoadIdentity();
            glFrustum(-2, 2, -2, 2, 3.0, 10);
            break;
        case 'w' :
        case 'W' : ugao+=15.0; yeye+=0.2; break;
        case 's' :
        case 'S' : ugao-=15.0; yeye-=0.2; break;
    }
    glMatrixMode(GL_MODELVIEW);
    glutPostRedisplay();
}
// Callback funkcija za promenu velicine prozora
void reshape(GLint w, GLint h) {
    glViewport(0, 0, w, h);
}
```

Primer 3/3

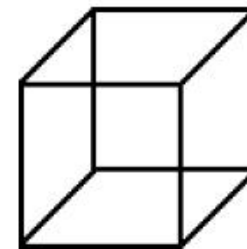
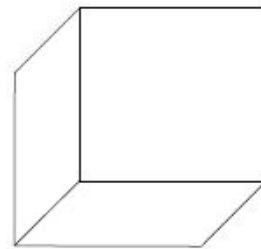
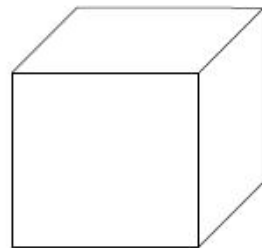
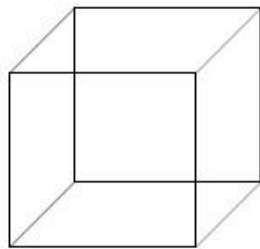
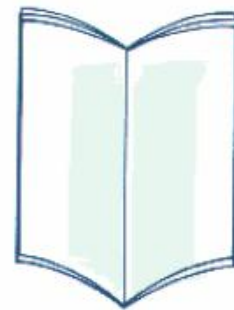
```
void init() {
    GLfloat light_position[] = {0.0, 0.0, 6.0, 0.0};
    GLfloat light_color[]    = {0.5, 0.5, 1.0, 0.0};
    glClearColor(1.0, 1.0, 1.0, 0.0);
    glShadeModel(GL_FLAT);
    glLightfv(GL_LIGHT0, GL_POSITION, light_position);
    glLightfv(GL_LIGHT0, GL_DIFFUSE,  light_color);
    glEnable(GL_LIGHTING);
    glEnable(GL_LIGHT0);
    glEnable(GL_DEPTH_TEST);
    glColor3f(1.0, 1.0, 1.0);
    glMatrixMode(GL_PROJECTION);
    glLoadIdentity();
    glOrtho(-5, 5, -5, 5, -10, 10);
    glMatrixMode(GL_MODELVIEW);
}
void main(int argc, char** argv) {
    glutInit(&argc,argv);
    glutInitWindowSize(400, 400);
    glutInitDisplayMode(GLUT_SINGLE | GLUT_RGB | GLUT_DEPTH);
    glutCreateWindow("Projekcija");
    init();
    glutDisplayFunc(display);
    glutKeyboardFunc(kbd);
    glutReshapeFunc(reshape);
    glutMainLoop();
}
```

Primer 3/3

Izlaz



Uklanjanje skrivenih linija i površina



- Određivanje vidljivosti (hidden-line/surface algorithms)
 - Za čoveka je uklanjanje skrivenih linija i površina jednostavan problem.
 - Za implementaciju skrivanja linija i površina pri prikazu na ekranu koristi se trigonometrija

Uklanjanje skrivenih linija i površina

- Osnove postupaka uklanjanja skrivenih linija i površina
 - geometrijska izračunavanja – uspostavljaju odnos između poligona, bridova i tačaka (“**containment test**”)
 - geometrijsko uređivanje (“**geometric sorting**”)
 - postupci pretraživanja (“**search algorithms**”)
 - međusobna zavisnost i obeležja (“**coherence**”)
- Određivanje vidljivosti
 - uklanjanje objekata izvan piramide pogleda (delova poligona)
 - uklanjanje zadnjih pogona (**back face culling**)
 - brzi, jednostavni postupci za rešavanje trivijalnih slučajeva (npr. Min-maks provera)
 - promena složenosti prikaza u zavisnosti od udaljenosti (LOD → level of detail)
- Podela postupaka za uklanjanje skrivenih linija i površina
 - postupci u prostoru objekta 3D
 - postupci u prostoru slike (projekcije) 2D

Uklanjanje skrivenih linija i površina

- Slični postupci koriste se kod
 - odsecanja (**clipping**)
 - detekcije sudara tj. kolizije (**collision detection**)
 - "bačene" sene (**senčenje**)
- Geometrijska izračunavanja čine osnovu u postupcima uklanjanja skrivenih linija i poligona, detekcija kolizija, odsecanja. (U prostoru projekcije ili scene).
 - položaj tačke prema
 - pravcu ili ravni
 - poligonu ili telu
 - položaj dužine prema
 - pravcu ili ravni
 - poligonu ili telu
 - Booleove operacije (unija, presek, razlika)
 - dva tela (**solid modelling**)

Provera odnosa tačke i poligona

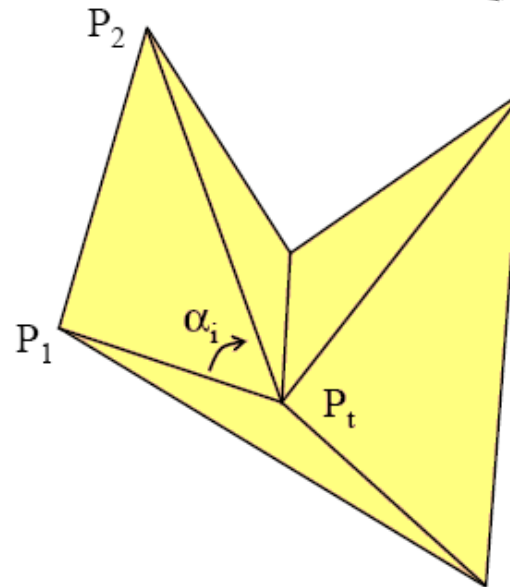
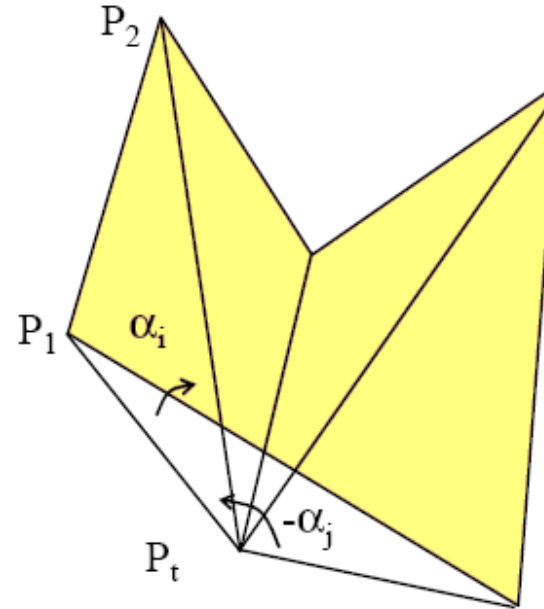
- Korišćenje sume uglova.

- ako je

$$P_t \text{ je izv } \sum_i \alpha_i = 0^\circ$$

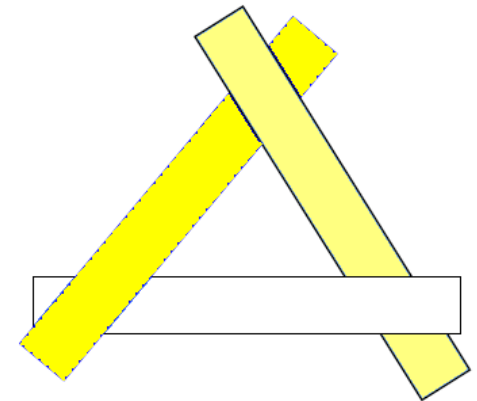
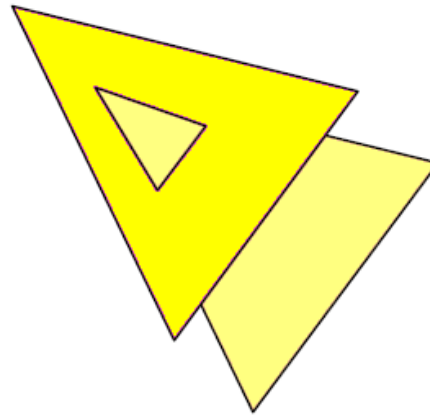
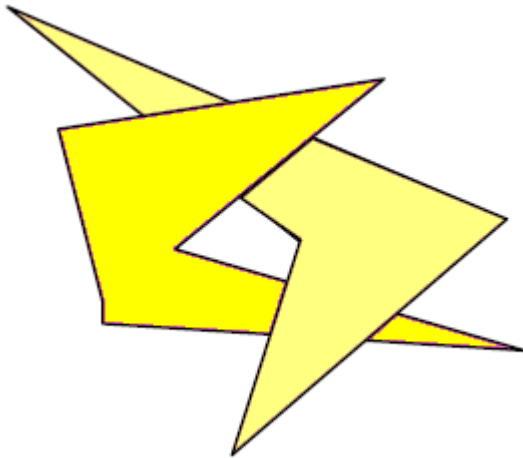
- ako je

$$P_t \text{ je unu } \sum_i \alpha_i = 2\pi$$



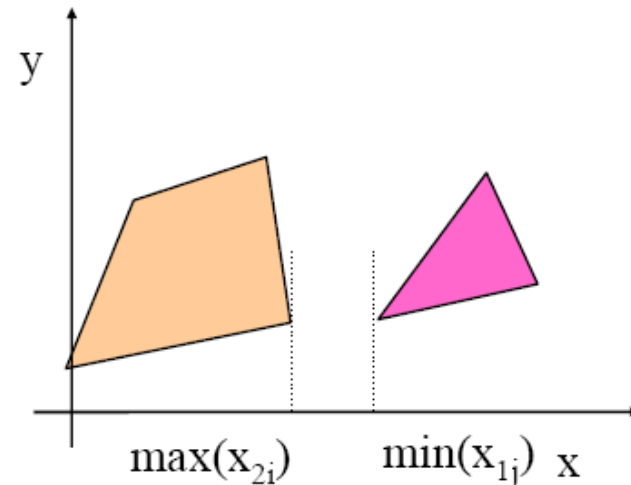
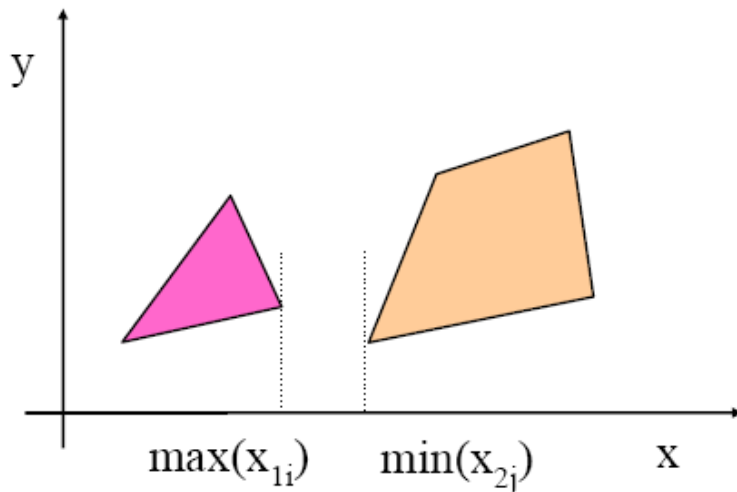
Geometrijsko uređivanje

- Na primer algoritam iscrtavanja slikara. **BTF** (back to front) (**Painter algorithm**)
 - Nakon iscrtavanja najudaljenijih poligona crtaju se redom sve bliži poligoni koji prekrivaju već iscrtane.
 - Prednosti: - mogućnost korišćenja prozirnosti
 - Nedostaci: - suvišna iscrtavanja prekrivenih poligona
 - problem kod iscrtavanja površina ili probadanja



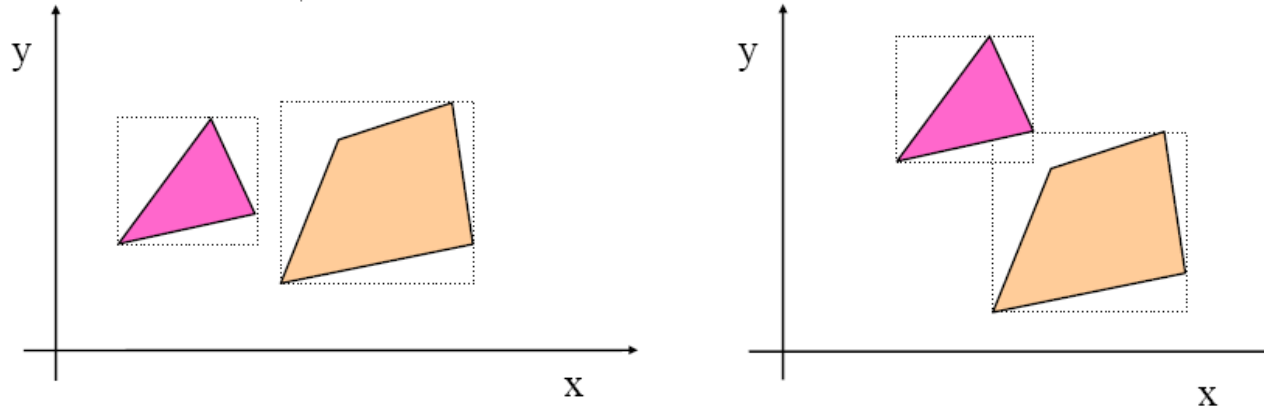
Min-maks provera

- Brz zahvat kojim se ustanovi da li se dva poligona sigurno ne prekrivaju ili se potencijalno prekrivaju.
- Neka su poligoni zadani vrhovima $P_1(V_{11} \dots V_{1n})$ i $P_2(V_{21} \dots V_{2m})$.
- Poligoni se ne prekrivaju ako vredi za svaki i, j :
 $\max(x_{1i}) < \min(x_{2j})$ ili
 $\max(x_{2i}) < \min(x_{1j})$ ili
 $\max(y_{1i}) < \min(y_{2j})$ ili
 $\max(y_{2i}) < \min(y_{1j})$

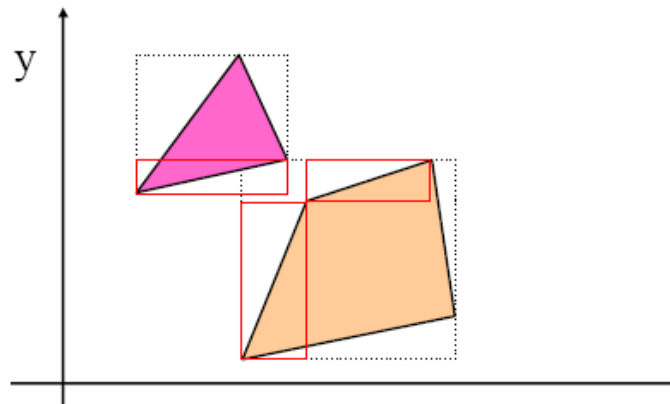


Min-maks provera

- Proveravamo da li se opisani pravougaonici (**screen extent**) prekrivaju.

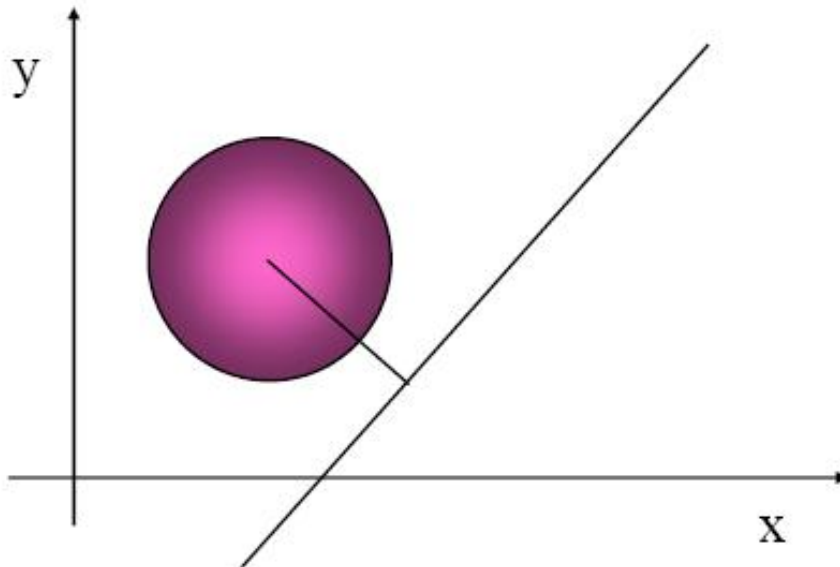


- Ukoliko se poligoni potencijalno prekrivaju potrebne su dodatne provere.
- Algoritam možemo primeniti i na bridove (ivice).



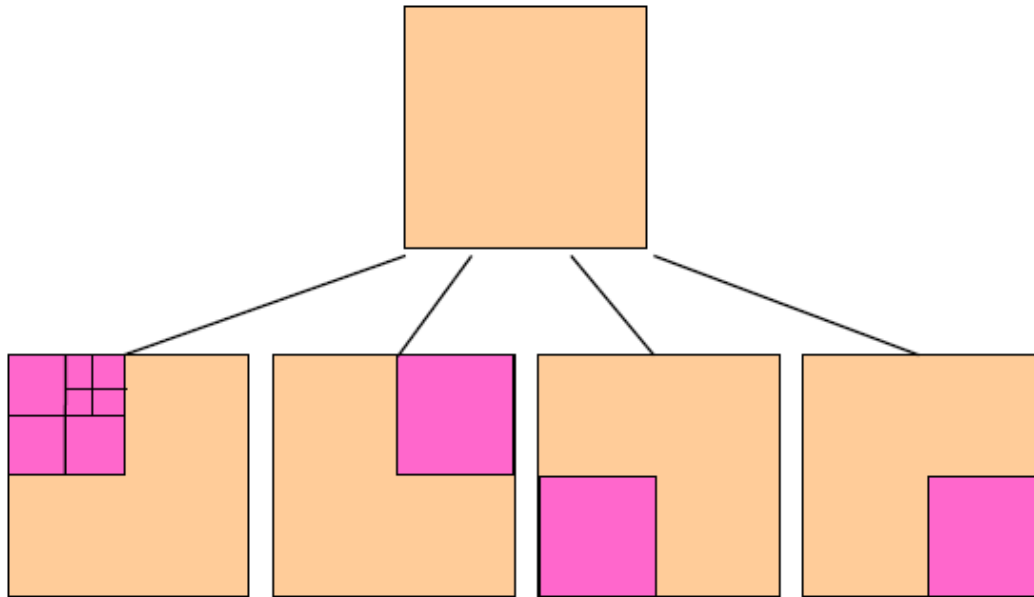
Proširenje algoritma Min-maks na 3D

- Proveravamo da li se kvadri (**bounding box**), koji obuhvataju tela ili delove tela preklapaju.
- Postupak se obično koristi kod detekcije kolizije.
- Umesto kvadra često se koristi kugla (sfera).
- Ukoliko je udaljenost pravca do središta kugle:
 - veća od poluprečnika, pravac ne seče kuglu.
 - manja od poluprečnika, pravac seče kuglu.



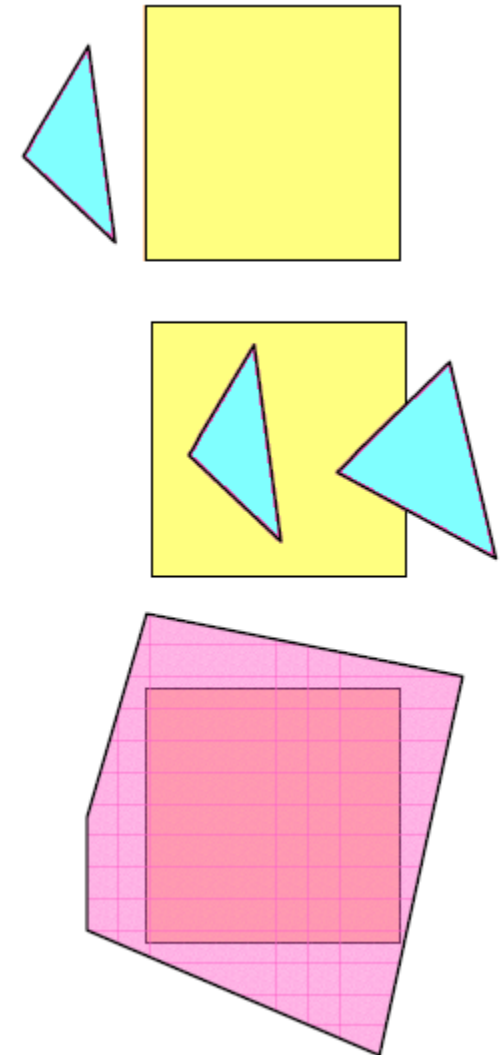
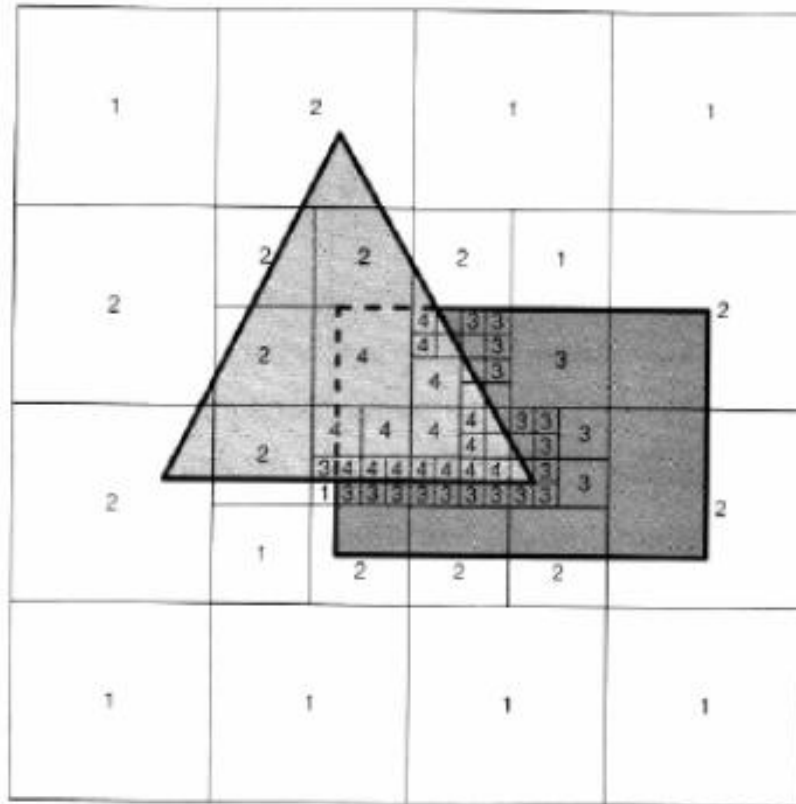
Warnock-ov postupak

- Radi u prostoru slike (2D).
- Analizira se sadržaj ispitnog prostora koji je u početku jednak zaslonu.
- Mogući slučajevi:
 - prozor je prazan
 - scena u prozoru je jednostavna i moguće je prikazati istu
 - scena u prozoru je složena, rekurzivno se deli dalje



Podela prostora (quad tree)

- Poligoni se raspodele obzirom na relaciju s prozorom:
 - poligon je izvan prozora (uklonimo ih iz liste) (1)
 - poligon seče prozor ili je u prozoru (2)
 - poligon (jedan) prekriva prozor (3)
 - više poligona prekriva prozor (4)

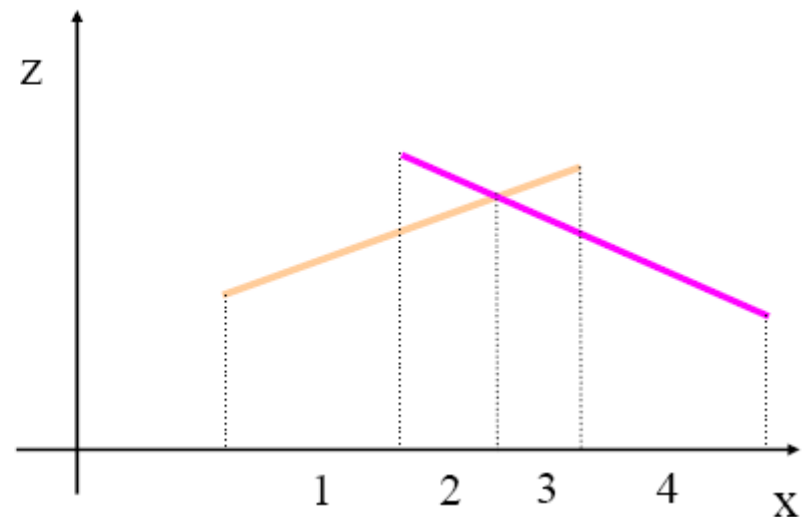
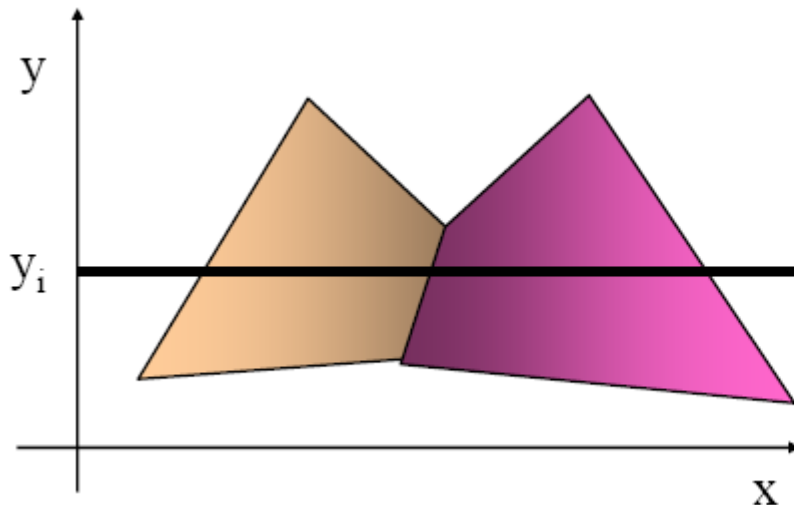


Watkins-ov postupak (scan line method)

- Radi u prostoru slike. Projektuju se poligoni na ravan xy .
- U ravni projekcije postavi se ispitna linija.
 1. Određivanje raspona uzorka (deo linije na kojoj se ne može dogoditi promena vidljivosti)

Raspon uzorka je deo linije koji zadovoljava uslove:

- broj segmenata u rasponu uzorka *konstantan*
- projekcije preseka za $y = y_i$ unutar raspona uzorka u ravnini xz *ne seku se* unutar raspona uzorka (svaki presek u projekciji označava novi raspon uzorka)

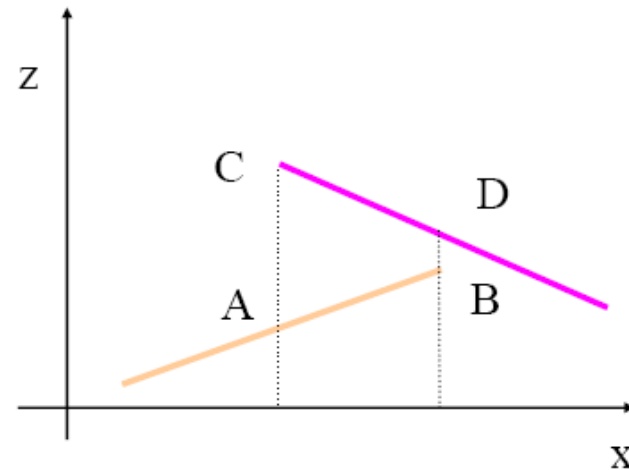
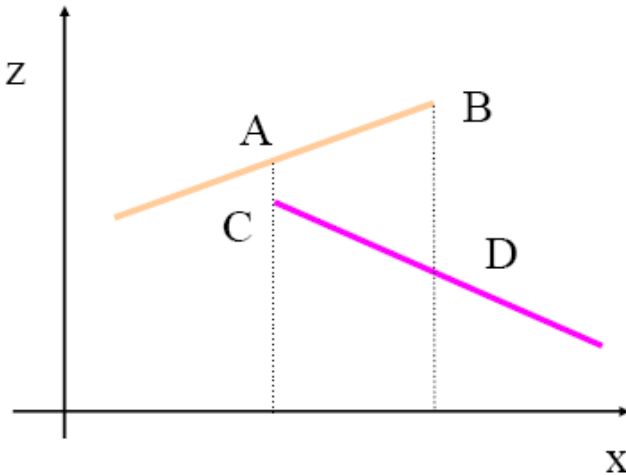


Watkins-ov postupak (scan line method)

2. Određivanje vidljivosti

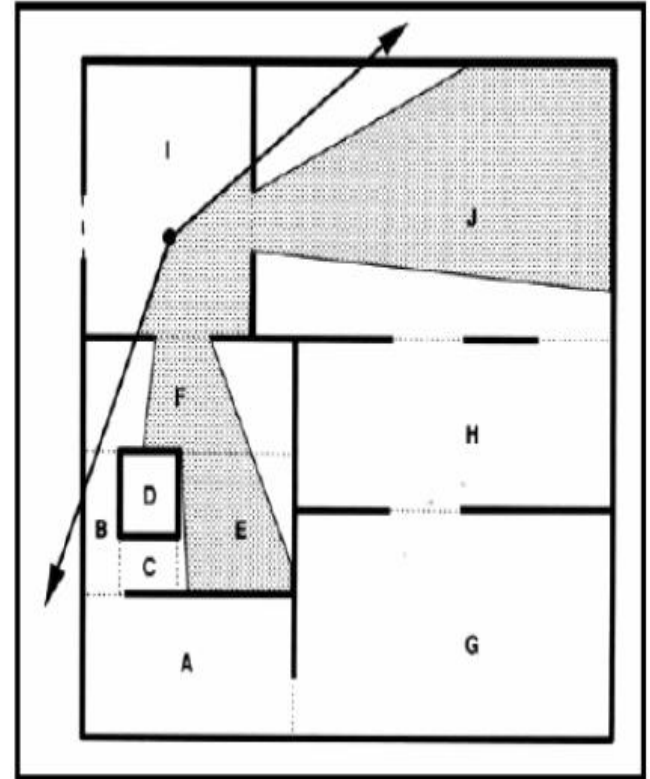
3. Raspon uzorka testiramo obzirom na vidljivost:

- ako je broj segmenata na tekućoj liniji pretrage različit od broja segmenata na prethodnoj liniji pretrage ili
 - ako se krajnje tačke dva segmenta zamene po veličini koordinate z (na primer: tačke A i C te B i D) kad prelazimo iz tekuće u susednu liniju pretrage (tada se obe površine seku u prostoru između dve ravni pretrage).
- Ispitivanjem z-koordinate određuje se koji segment u rasponu uzorka prekriva druge segmente.

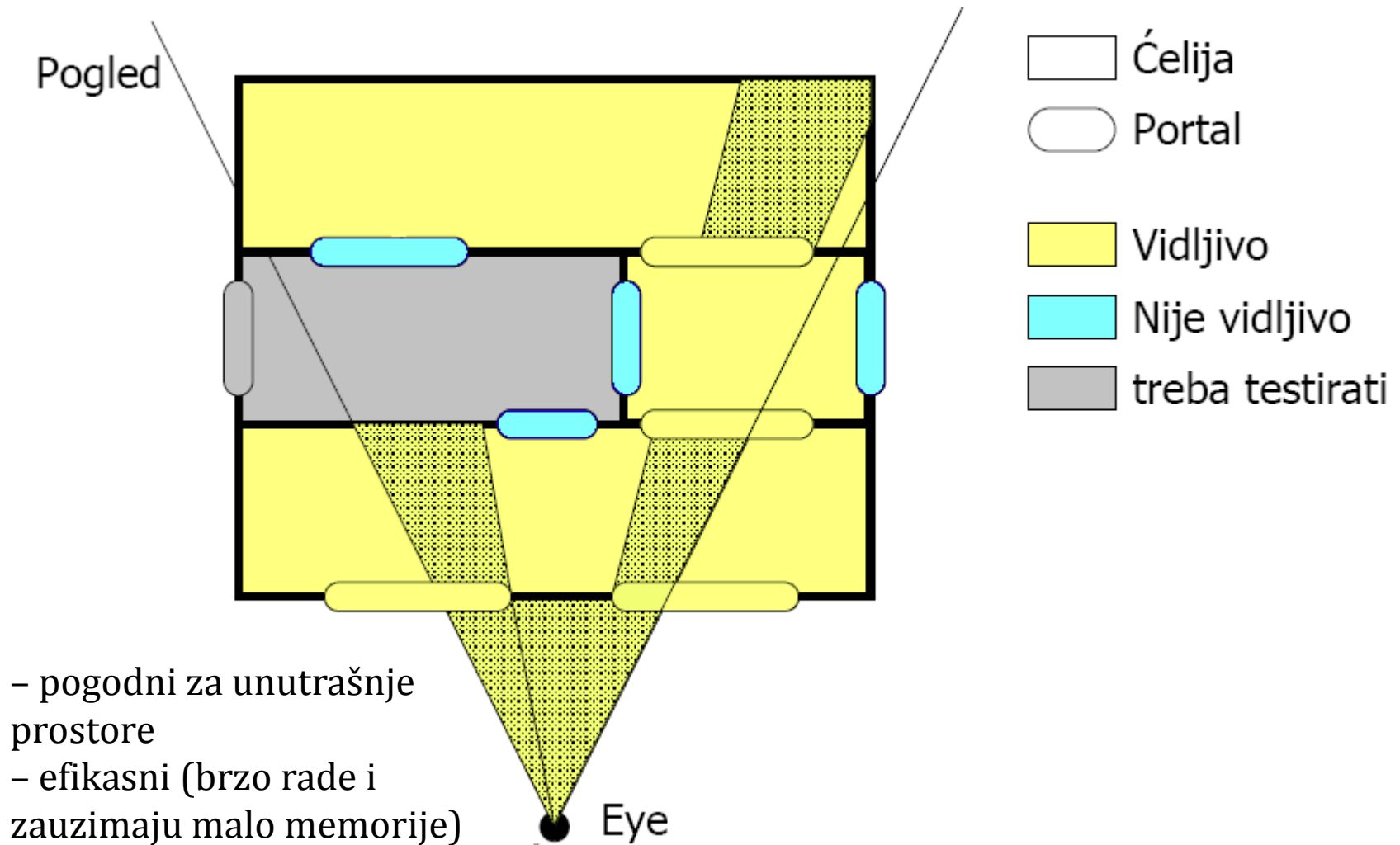


Uklanjanje poligona (culling)

- Uklanjanje poligona (**culling**)
 - uklanjanje zadnjih poligona
 - uklanjanje poligona (objekata) izvan piramide pogleda (**view frustum**)
 - uklanjanje zaklonjenih poligona (objekata) (**occlusion culling**)
- Ukoliko objekti nisu prozirni možemo ukloniti zadnje poligone.
- Ukoliko nema ogledanja (**mirroring**) mogu se ukloniti poligoni (objekti) koji nisu vidljivi.
- Potrebno je načiniti efikasne hijerarhijske grafove složenih scena (**ćelije** i **portali**).

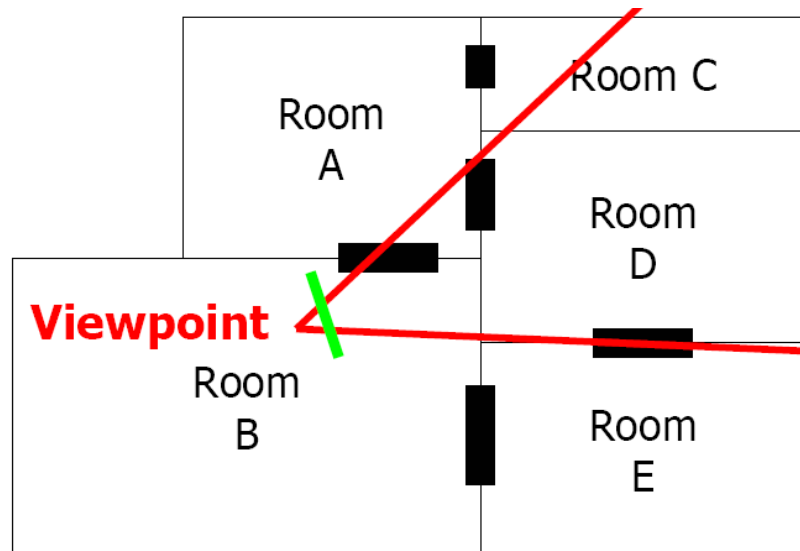
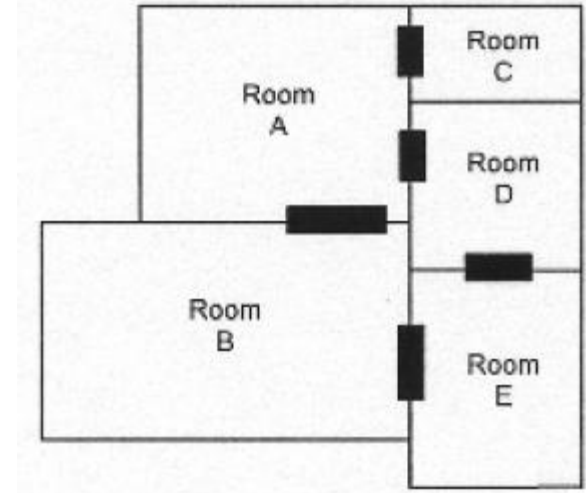
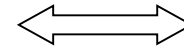
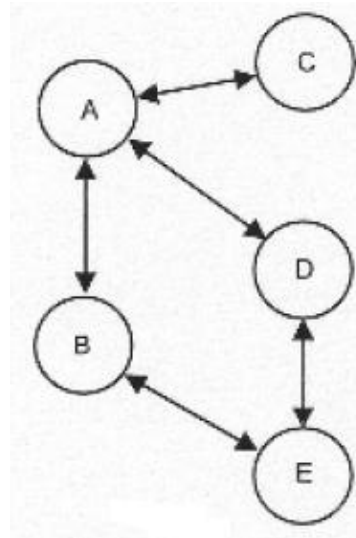


Ćelije i portali



PVS potencijalno vidljivi skup (Potentially visible set)

- Graf (scene) vidljivosti, samo se jedna vrata otvaraju.



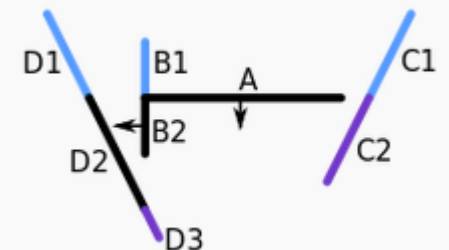
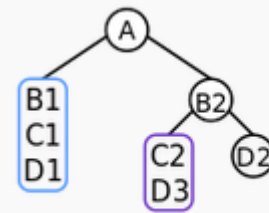
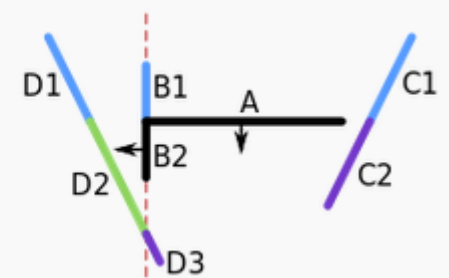
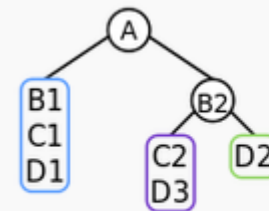
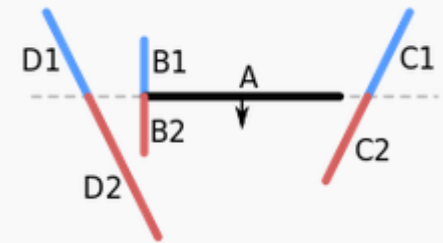
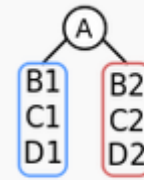
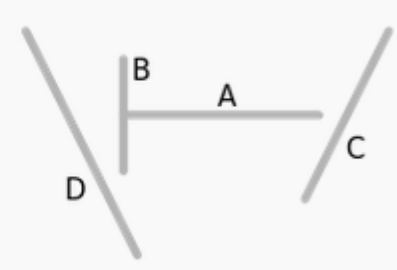
LOD, morfing, Grafički protočni sistem

- Promena složenosti prikaza (**LOD** level of detail)
 - Unapred se pohrane objekti s različitim brojem poligona.
 - Zavisno od udaljenosti prikazuje se različit nivo detalja složenosti, a između se vrši interpolacija.
- Morfing: geometrijski preobražaj iz jednog oblika u drugi (**morphing**).
- Grafički protočni sistem – uklanjanje skrivenih linija i površina
 - geometrijski sistem (3D koordinate FP)
 - pretraga grafa scene
 - transformacije
 - proračun osvetljenja u vrhovima
 - uklanjanje zadnjih poligona (back face culling)
 - odsecanje (view volume clipping)
 - rasterski sistem (diskretne koordinate)
 - Z-buffer
 - senčenje
- U svim algoritmima prisutni su problemi zaokruživanja i numeričkih grešaka koji izazivaju vidljive promene na rezultatu.

BSP

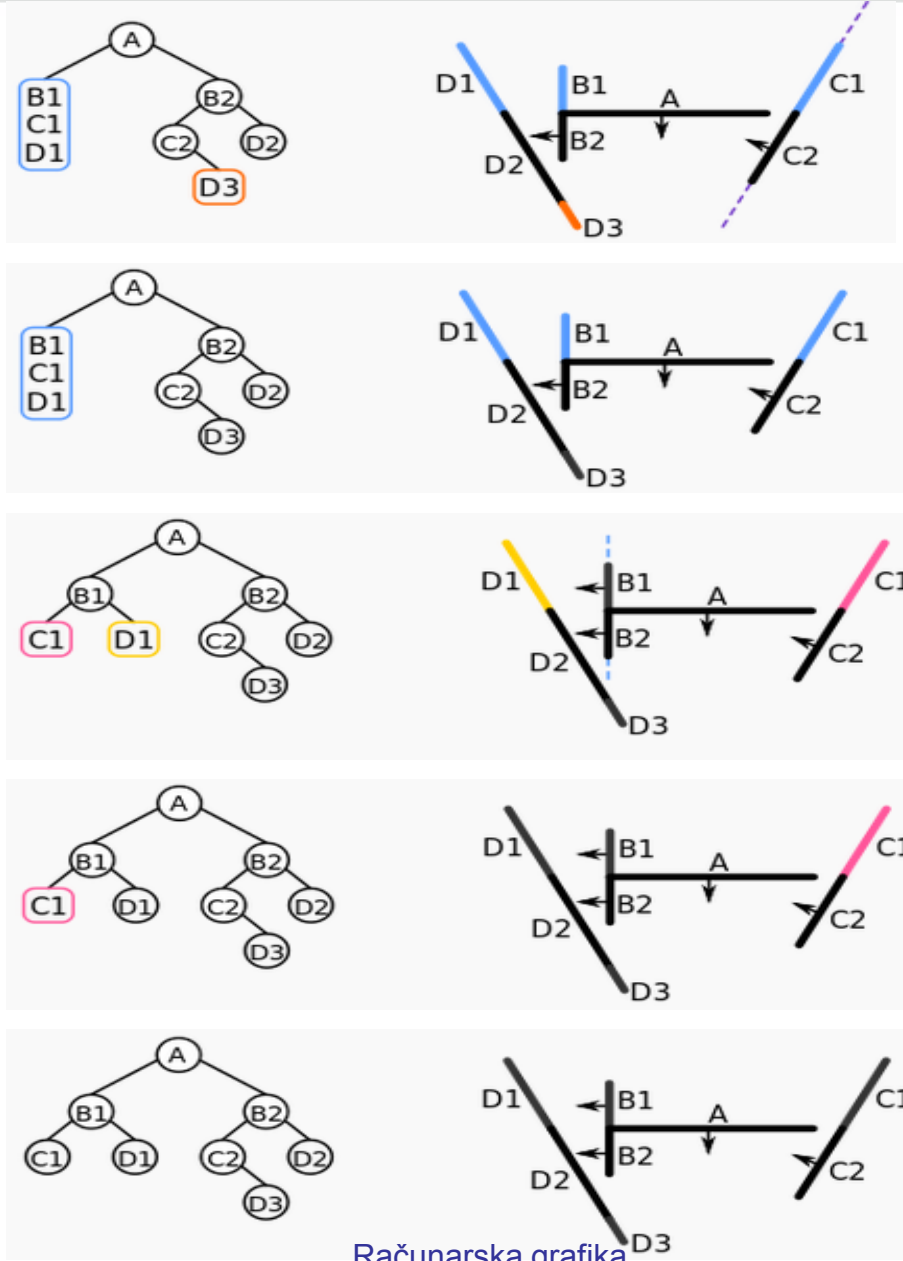
- BSP – stabla (**Binary Space Partitioning**)
- Binarna podela prostora.
Koristi se npr. za detekciju kolizija.
- Algoritam je prikazan u dve dimenzije i lako se proširi na tri dimenzije.
- Prvo je potrebno sagraditi binarno stablo.
- Kreće se sa podelom prostora npr. pravcem koji je određen sa duži A.
 - dalje se posmatraju ostale duži ili njihovi delovi koji se nalaze
 - "ispred" pravca "A"
 - "iza" pravca "A"
 - kreira se binarno stablo i postupak se nastavlja u svakoj grani stabla za elemente (duži) u toj grani stabla

A
B
C
D



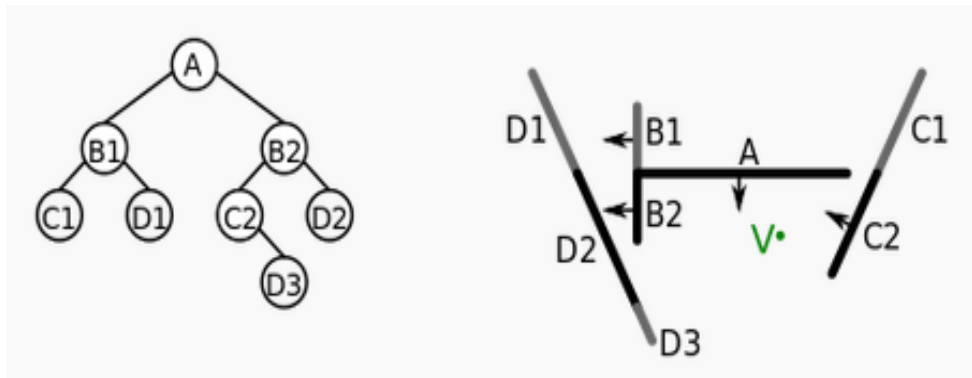
BSP

- Nastavak:



BSP – stabla

- BSP primer postavljanja kamere (položaja i pogleda):



- Ako je tekući čvor list, renderuje se.
- Inače, ako je lokacija pogleda V ispred tekućeg čvora:
 - Render dece BSP stabla iza tekućeg čvora, `BSP_display(tree->backChild);`
 - Render tekućeg čvora, `displayPolygon(tree->root);`
 - Render dece BSP stabla ispred tekućeg čvora, `BSP_display(tree->frontChild);`
- U suprotnom, ako je lokacija pogleda V iza tekućeg čvora:
 - Render dece BSP stabla ispred tekućeg čvora, `BSP_display(tree->frontChild);`
 - Render tekućeg čvora, `displayPolygon(tree->root);`
 - Render dece BSP stabla iza trenutnog čvora `BSP_display(tree->backChild);`

Rezultat bi bio: (D1, B1, C1, A, D2, B2, C2, D3)

Zadatak

- Napisati program koji pretvara četverostranu piramidu datu koordinatama:

A(50,50,30)

B(150,50,30)

C(150,150,30)

D(50,150,30)

E(100,100,100)

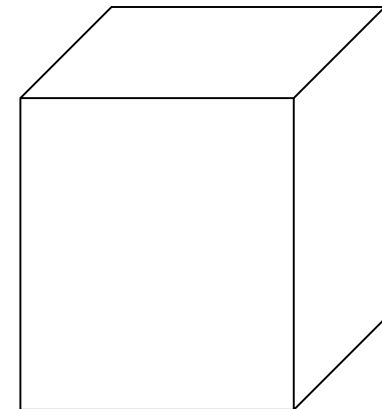
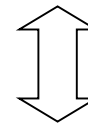
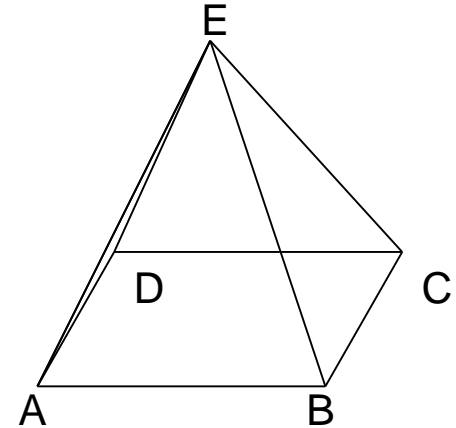
u kvadrat čija je baza ista kao i date piramide:

Koraci pretvaranja su trigerovani pritiskom na taster:

'k' za smer piramida → kvadrat

'p' za smer kvadrat → piramida

Morfing realizovati u 100 faza prelaza.



Primer 1/4

```
#pragma comment( lib, "opengl32.lib")
#pragma comment( lib, "glu32.lib")
#pragma comment( lib, "glut32.lib")
#include <GL/glut.h>
bool flag = false;
void line3d(float x1, float y1, float z1, float x2, float y2, float z2){
    glLineWidth(2.0);
    glBegin(GL_LINES);
        glVertex3f(x1,y1,z1);  glVertex3f(x2,y2,z2);
    glEnd();
}
struct point3d { float x; float y; float z; };
point3d mpoint[10]={
    50.0, 50.0, 30.0,      150.0, 50.0, 30.0,
    150.0,150.0, 30.0,    50.0,150.0, 30.0,
    50.0, 50.0, 30.0,    100.0,100.0,100.0,
    100.0,100.0,100.0,   100.0,100.0,100.0,
    100.0,100.0,100.0,   100.0,100.0,100.0 };
point3d mpoint2[10]={
    50.0, 50.0, 30.0,      150.0, 50.0, 30.0,
    150.0,150.0, 30.0,    50.0,150.0, 30.0,
    50.0, 50.0, 30.0,    50.0, 50.0,100.0,
    150.0, 50.0,100.0,    150.0,150.0,100.0,
    50.0,150.0,100.0,    50.0, 50.0,100.0 };

float t=0;
static float fRotAngle = -60.0f;
```

Primer 2/4

```
void Redraw(){
    glClear( GL_COLOR_BUFFER_BIT | GL_DEPTH_BUFFER_BIT ); glLoadIdentity();
    glTranslatef( 0.0f, 0.0f, 0.0f ); glRotatef( fRotAngle, 1.0f, 0.0f, 1.0f );
    fRotAngle+= 0.5f; if(fRotAngle>360.0) fRotAngle = 0;
    int i;
    for( i=0; i<4; i++ )
        line3d( mpoint [i].x,mpoint [i].y,mpoint [i].z,
                mpoint[i+1].x,mpoint[i+1].y,mpoint[i+1].z);
    for( i=5; i<9; i++ )
        line3d( mpoint[i].x + (mpoint2[i].x - mpoint[i].x)*t,
                mpoint[i].y + (mpoint2[i].y - mpoint[i].y)*t,
                mpoint[i].z + (mpoint2[i].z - mpoint[i].z)*t,
                mpoint[i+1].x + (mpoint2[i+1].x - mpoint[i+1].x)*t,
                mpoint[i+1].y + (mpoint2[i+1].y - mpoint[i+1].y)*t,
                mpoint[i+1].z + (mpoint2[i+1].z - mpoint[i+1].z)*t
                );
    for( i=0; i<4; i++ )
        line3d( mpoint[i].x,mpoint[i].y,mpoint[i].z,
                mpoint[i+5].x + (mpoint2[i+5].x-mpoint[i+5].x)*t,
                mpoint[i+5].y + (mpoint2[i+5].y-mpoint[i+5].y)*t,
                mpoint[i+5].z + (mpoint2[i+5].z-mpoint[i+5].z)*t
                );
    glutSwapBuffers(); }
void Keyboard( unsigned char uKey, int x, int y ){
    switch ( uKey ){ case 0x1B: exit( 0 ); break;
                    case 'q' : if(t<1.0) t+=0.01; break;
                    case 'p' : if(t>0.0) t-=0.01; break;}}
```

Primer 3/4

```
void Resize( int iWidth, int iHeight ){
    glViewport( 0, 0, (GLsizei)iWidth, (GLsizei)iHeight );
    glMatrixMode( GL_PROJECTION );
    glLoadIdentity();
    glFrustum( -10.0f, 10.0f, -10.0f, 10.0f, 10.0f, -10.0f );
    glMatrixMode( GL_MODELVIEW );
    gluLookAt(0,0,30.0,0,0,0,0,1.0,0);
}
void Timer( int iValue ){glutPostRedisplay(); glutTimerFunc( 10, Timer, iValue );
}
int main( int argc, char **argv ){
    for (int i=0; i<sizeof(mpoint)/sizeof(point3d); i++)
    {
        float umanji = 300.0;
        mpoint [i].x/=umanji;      mpoint [i].y/=umanji;      mpoint [i].z/=umanji;
        mpoint2[i].x/=umanji;      mpoint2[i].y/=umanji;      mpoint2[i].z/=umanji;
    }
    glutInitDisplayMode( GLUT_RGB | GLUT_DEPTH | GLUT_DOUBLE );
    glColor3f(1.0,1.0,1.0);
    glutInitWindowPosition( 0, 0 );      glutInitWindowSize( 600, 600 );
    glutInit( &argc, argv );
    glutCreateWindow( "Morfing" );
    Resize(600,600);
    glutKeyboardFunc( Keyboard ); glutReshapeFunc( Resize );
    glutDisplayFunc( Redraw );
    glutTimerFunc( 1, Timer, 100 );
    glutMainLoop();      return 0;}
}
```